

وزارت علوم، تحقیقات و فناوری  
دانشگاه تحصیلات تکمیلی علوم پایه  
گوازنگ - زنجان



# مطالعه الکتروشیمیایی برهم کنش پورفیرین‌ها با اسیدهای کربوکسیلیک و اکسایش الکتروشیمیایی آلکن‌ها در حضور متالوپورفیرین‌ها

پایان‌نامه کارشناسی ارشد

مهشاد نجفی راغب

استاد راهنما: دکتر سعید زکوی

استاد مشاور: دکتر محمد رفیعی

۱۳۹۰ مرداد

## چکیده

در این کار، دی‌کاتیون‌های مزو-ترآرایل‌پورفیرین‌های مختلف شامل مزو-ترافنیل‌پورفیرین، مزو-تراکیس(پارا-کلروفنیل)‌پورفیرین و مزو-تراکیس(پارا-متوکسیفنیل)‌پورفیرین با اسیدهای کربوکسیلیک قوی و ضعیف تهیه و به استفاده از طیفبینی‌های  $^1\text{H}$  NMR و UV-vis و همچنین ولتاوی چرخه‌ای مورد مطالعه قرار گرفتند. از پتانسیل‌های اکسایش و کاهش اول و دوم دی‌کاتیون‌ها برای به دست آوردن اطلاعاتی در مورد سطح انرژی اوربیتال‌های مرزی پورفیرین‌های مختلف استفاده شد. تغییرات طیفی دی‌کاتیون‌ها نسبت به پورفیرین‌های آزاد با جابه‌جایی‌های پتانسیل‌های اکسایش و کاهش اول و دوم در هنگام پروتون‌دارشدن پورفیرین‌ها مقایسه شد. در مورد فرمیک اسید، طیفبینی  $^1\text{H}$  NMR دمای پایین برای به دست آوردن جابه‌جایی‌های شیمیایی پروتون‌های مختلف مورد استفاده قرار گرفت. استفاده از طیفبینی  $^1\text{H}$  NMR دمای متغیر امکان بررسی تاثیر پیوندهای هیدروژنی درون‌مولکولی و بین‌مولکولی و همچنین میزان تغییر شکل خارج از صفحه‌ای هسته پورفیرین را در محل پروتون‌های مختلف در طیف‌های  $^1\text{H}$  NMR آنها فراهم کرد. علیرغم طیف‌های UV-vis تقریباً قابل انطباق پورفیرین‌های آزاد، نوارهای سورت و Q(0,0) دی‌کاتیون‌ها در طول موج‌های مختلفی ظاهر می‌شود. به عبارت دیگر، دی‌پروتون‌دارکردن پورفیرین‌ها می‌تواند جهت افزایش دادن مشارکت اثرات الکترونی استخلافهای مزو در انرژی جهش‌های  $\pi-\pi^*$  ماکروسیکل آروماتیک مورد استفاده قرار گیرد. نتایج این مطالعه نشان می‌دهد که میزان اختلاف بین نوارهای سورت و Q(0,0) دی‌کاتیون‌ها در مقایسه با اختلاف بین پتانسیل‌های اکسایش-کاهش این ترکیبات کم اهمیت‌تر است. اختلاف‌های مشاهده شده بزرگتر بین پتانسیل‌های اکسایش دی‌کاتیون‌های مختلف نسبت به پتانسیل‌های کاهش نشان می‌دهد که اختلاف اصلی بین انرژی اوربیتال‌های مرزی دی‌کاتیون‌های مختلف بیشتر ناشی از اختلاف بین اوربیتال‌های  $a_{2u}$  است تا اوربیتال‌های  $e_g$ . نکته قابل ذکر این است که قدرت الکترون دهنده‌گی استخلافهای مزو منجر به ناپایداری اوربیتال‌های  $a_{2u}$  و  $e_g$  می‌شود، هر چند میزان این تاثیر در مورد

اوربیتال‌های  $a_{2u}$  بیشتر از اوربیتال‌های  $e_g$  است. در حالت استفاده از فرمیک اسید به عنوان پذیرنده، تشکیل پیوند‌های هیدروژنی بین مولکولی به عنوان عامل اصلی تشکیل اداكت‌های پورفیرینی پیشنهاد شده است.

## فهرست

فصل اول: مقدمه ..... ۱
۱-۱ پورفیرین ..... ۱
۲-۱ روش‌های سنتز پورفیرین‌های استخلافدار شده در موقعیت مزو ..... ۳
۳-۱-۱ روش روتمند ..... ۳
۳-۱-۲ روش آدلر-لونگو ..... ۳
۴-۱-۲ روش لیندسى ..... ۴
۵-۱-۳ بررسی پورفیرین‌های غیر مسطح ..... ۵
۵-۱-۳-۱ اهمیت بررسی پورفیرین‌های غیر مسطح ..... ۵
۶-۱-۳-۲ صورت‌بندی‌های مختلف پورفیرین‌های غیر مسطح ..... ۶
۹-۱-۳-۳ عوامل غیر مسطح شدن حلقه‌ی پورفیرین ..... ۹
۱۳-۱-۴ بررسی خواص طیفی پورفیرین‌ها و متالوپورفیرین‌ها ..... ۱۳
۱۳-۱-۴-۱ طیف $^1\text{H}$ NMR پورفیرین‌ها ..... ۱۳
۱۴-۱-۴-۲ طیف جذبی الکترونی پورفیرین‌ها و متالوپورفیرین‌ها ..... ۱۴
۱۹-۱-۴-۳ پروفایل ولتامتری چرخه‌ای پورفیرین‌ها ..... ۱۹
۲۳- فصل دوم: بخش تجربی ..... ۲۳
۲۳-۱ مواد شیمیایی و دستگاه‌های مورد استفاده ..... ۲۳
۲۳-۱-۱ مواد شیمیایی ..... ۲۳
۲۳-۱-۲ دستگاه‌ها ..... ۲۳
۲۴-۲ روش تهیه و شناسایی پورفیرین‌ها ..... ۲۴

۱-۲-۲ مژو-ترافنیل پورفیرین ..... ۲۴	۲۴
۲-۲-۲ مژو-تراکیس(پارا-متوكسیفنیل) پورفیرین ..... ۲۶	۲۶
۲-۲-۳ مژو-تراکیس(پارا-کلروفنیل) پورفیرین ..... ۲۸	۲۸
۲-۳ تهیهٔ ترابوتیل آمونیوم پرکلرات ..... ۳۱	۳۱
۲-۴ تهیهٔ و شناسایی دیکاتیون پورفیرین‌ها با اسیدهای مختلف ..... ۳۱	۳۱
۲-۴-۱ تهیهٔ دیکاتیون پورفیرین‌ها و شناسایی آن‌ها توسط تکنیک $^1\text{H}$ NMR ..... ۳۱	۳۱
۲-۴-۲ تهیهٔ دیکاتیون پورفیرین‌ها و شناسایی آن‌ها توسط تکنیک ولتامتری چرخه‌ای ..... ۳۶	۳۶
۲-۴-۳ شرایط اندازه‌گیری ..... ۳۷	۳۷
فصل سوم: بحث و نتیجه‌گیری ..... ۳۸	۳۸
۳-۱ پروتوندار شدن حلقه مژو-ترآریل پورفیرین‌ها ..... ۳۸	۳۸
۳-۲ بررسی طیف‌های UV-vis و منحنی‌های ولتامتری چرخه‌ای ..... ۴۱	۴۱
۳-۲-۱ منحنی ولتامتری چرخه‌ای و طیف UV-vis پورفیرین‌های آزاد در حلال دی‌کلرومتان ..... ۴۲	۴۲
۳-۲-۲ بررسی منحنی ولتامتری چرخه‌ای اداكت‌های $\text{H}_2\text{t}(4\text{-OMe})\text{pp}$ , $\text{H}_2\text{tpp}$ و $\text{H}_2\text{t}(4\text{-Cl})\text{pp}$ ..... ۴۶	۴۶
۳-۲-۳ طیف UV-vis اداكت‌های $\text{H}_2\text{t}(4\text{-OMe})\text{pp}$ , $\text{H}_2\text{tpp}$ و $\text{H}_2\text{t}(4\text{-Cl})\text{pp}$ ..... ۵۵	۵۵
۳-۲-۴ ارتباط بین اختلاف پتانسل‌های اکسایش-کاهش و اوربیتال‌های مرزی ..... ۵۶	۵۶
۳-۲-۵ تأثیر الکتروولیت حامل بر منحنی ولتامتری ..... ۵۷	۵۷
۳-۳ طیف‌های $^1\text{H}$ NMR پورفیرین‌های $\text{H}_2\text{t}(4\text{-OMe})\text{pp}$ , $\text{H}_2\text{tpp}$ و $\text{H}_2\text{t}(4\text{-Cl})\text{pp}$ و دیکاتیون آن‌ها ..... ۵۸	۵۸
۳-۳-۱ طیف $^1\text{H}$ NMR اداكت پورفیرین‌های $\text{H}_2\text{t}(4\text{-OMe})\text{pp}$ , $\text{H}_2\text{tpp}$ و $\text{H}_2\text{t}(4\text{-Cl})\text{pp}$ با اسیدهای قوی ..... ۶۰	۶۰

۳-۲-۲ طیف  $^1\text{H}$  NMR ادکت پورفیرین‌های  $\text{H}_2\text{t}(4\text{-OMe})\text{pp}$  و  $\text{H}_2\text{t}(4\text{-Cl})\text{pp}$  با فرمیک  
اسید ..... ۶۴

۳-۲-۳ طیف  $^1\text{H}$  NMR ادکت‌های  $\text{H}_2\text{t}(4\text{-OMe})\text{pp}(\text{HCOOH})_2$  و  $\text{H}_2\text{t}(4\text{-Cl})\text{pp}(\text{HCOOH})_2$  ..... ۹۵

## فهرست شکل‌ها

۱	شکل ۱-۱ آهن پروتوبورفیرین IX.....
۲	شکل ۱-۲ ساختار هسته پورفیرین .....
۳	شکل ۱-۳ پورفیرین‌های استخلافدار شده در موقعیت بتا (۱)؛ پورفیرین‌های استخلافدار شده در موقعیت مزو (۲)
۴	شکل ۱-۴ صورت‌بندی زینی‌شکل هسته پورفیرین .....
۵	شکل ۱-۵ ساختار سه بعدی صورت‌بندی زینی‌شکل هسته پورفیرین .....
۶	شکل ۱-۶ صورت‌بندی چین‌چین هسته پورفیرین .....
۷	شکل ۱-۷ ساختار سه بعدی صورت‌بندی چین‌چین هسته پورفیرین .....
۸	شکل ۱-۸ صورت‌بندی موجی هسته پورفیرین .....
۹	شکل ۱-۹ صورت‌بندی گنبدی‌شکل هسته پورفیرین .....
۱۰	شکل ۱-۱۰ دافعه‌ی بین استخلاف حجیم روی موقعیت مزو و کربن موقعیت بتا.....
۱۱	شکل ۱-۱۱ دافعه‌ی بین استخلاف حجیم روی موقعیت بتا و استخلاف روی موقعیت مزو .....
۱۲	شکل ۱-۱۲ (a) پورفیرین آزاد (b) گونه‌ی مونو کاتیون (c) گونه‌ی دی‌کاتیون .....
۱۳	شکل ۱-۱۳ جریان رزونانسی حلقه‌ی پورفیرین .....
۱۴	شکل ۱-۱۴ طیف UV-vis نوعی پورفیرین‌ها.....
۱۵	شکل ۱-۱۵ جهش‌های ایجاد کننده نوارهای سورت و Q در پورفیرین‌ها.....
۱۶	شکل ۱-۱۶ اوربیتال‌های مرزی پورفیرین .....
۱۷	شکل ۱-۱۷ نوارهای Q پورفیرین‌های نوع اتیو .....
۱۸	شکل ۱-۱۸ نوارهای Q پورفیرین‌های نوع رودو .....
۱۹	شکل ۱-۱۹ نوارهای Q پورفیرین‌های نوع فیلو.....
۲۰	شکل ۱-۲۰ اختلاف پتانسیل بین پتانسیل نیم‌موج اولین اکسایش پورفیرین و پتانسیل نیم‌موج اولین کاهش پورفیرین .....
۲۴	شکل ۲-۱ مزو-ترافنیل‌پورفیرین .....
۲۵	شکل ۲-۲ منحنی ولتاویری H <sub>2</sub> tpp با غلظت ۵×۱۰ <sup>-۴</sup> مولار در حلال دی‌کلرومتان و غلظت ۰/۱ مولار از TBAP. سرعت روبش V s <sup>-۱</sup> .....
۲۵	شکل ۲-۳ طیف UV-vis از H <sub>2</sub> tpp در حلال دی‌کلرومتان .....

- شکل ۲-۴ طیف  $^1\text{H}$  NMR از  $\text{H}_2\text{tpp}$  در حلال  $\text{CDCl}_3$ . جابه‌جایی‌های شیمیایی نسبت به ناخالصی  $\text{CHCl}_3$  ۲۶.....  
شکل ۲-۵ مزو-تراکیس(پارا-متوكسیفنیل)پورفیرین ۲۷.....  
شکل ۲-۶ منحنی ولتاویری  $\text{H}_2\text{t}(4\text{-OMe})\text{pp}$  با غلظت  $10^{-4}$  مولار در حلال دی‌کلرومتان و غلظت ۰/۱ مولار ۰/۰۱  $\text{V s}^{-1}$ . سرعت روبش TBAP از ۲۷.....  
شکل ۲-۷ طیف  $^1\text{H}$  NMR از  $\text{H}_2\text{t}(4\text{-OMe})\text{pp}$  در حلال  $\text{CDCl}_3$ . جابه‌جایی‌های شیمیایی نسبت به ناخالصی  $\text{CHCl}_3$  ۲۸.....  
شکل ۲-۸ مزو-تراکیس(پارا-کلروفنیل)پورفیرین ۲۹.....  
شکل ۲-۹ منحنی ولتاویری  $\text{H}_2\text{t}(4\text{-Cl})\text{pp}$  با غلظت  $10^{-4}$  مولار در حلال دی‌کلرومتان و غلظت ۰/۱ مولار از ۰/۰۱  $\text{V s}^{-1}$ . سرعت روبش TBAP از ۲۹.....  
شکل ۲-۱۰ طیف UV-vis از  $\text{H}_2\text{t}(4\text{-Cl})\text{pp}$  در حلال دی‌کلرومتان ۳۰.....  
شکل ۲-۱۱ طیف  $^1\text{H}$  NMR از  $\text{H}_2\text{t}(4\text{-Cl})\text{pp}$  در حلال  $\text{CDCl}_3$ . جابه‌جایی‌های شیمیایی نسبت به ناخالصی  $\text{CHCl}_3$  ۳۰.....  
شکل ۲-۱۲ طیف  $^1\text{H}$  NMR گونه‌ی  $\text{H}_2\text{tpp}(\text{CF}_3\text{COOH})_2$  در حلال  $\text{CDCl}_3$ . جابه‌جایی‌های شیمیایی نسبت به ناخالصی  $\text{CHCl}_3$  ۳۲.....  
شکل ۲-۱۳ طیف  $^1\text{H}$  NMR گونه‌ی  $\text{H}_2\text{tpp}(\text{Cl}_2\text{HCCOOH})_2$  در حلال  $\text{CDCl}_3$ . جابه‌جایی‌های شیمیایی نسبت به ناخالصی  $\text{CHCl}_3$  ۳۲.....  
شکل ۲-۱۴ طیف  $^1\text{H}$  NMR گونه‌ی  $\text{H}_2\text{tpp}(\text{H}_2\text{C}_2\text{O}_4)_2$  در حلال  $\text{CDCl}_3$ . جابه‌جایی‌های شیمیایی نسبت به ناخالصی  $\text{CHCl}_3$  ۳۳.....  
شکل ۲-۱۵ طیف  $^1\text{H}$  NMR گونه‌ی  $\text{H}_2\text{t}(4\text{-OMe})\text{pp}(\text{CF}_3\text{COOH})_2$  در حلال  $\text{CDCl}_3$ . جابه‌جایی‌های شیمیایی نسبت به ناخالصی  $\text{CHCl}_3$  ۳۳.....  
شکل ۲-۱۶ طیف  $^1\text{H}$  NMR گونه‌ی  $\text{H}_2\text{t}(4\text{-OMe})\text{pp}(\text{Cl}_2\text{HCCOOH})_2$  در حلال  $\text{CDCl}_3$ . جابه‌جایی-های شیمیایی نسبت به ناخالصی  $\text{CHCl}_3$  ۳۴.....  
شکل ۲-۱۷ طیف  $^1\text{H}$  NMR گونه‌ی  $\text{H}_2\text{t}(4\text{-OMe})\text{pp}(\text{H}_2\text{C}_2\text{O}_4)_2$  در حلال  $\text{CDCl}_3$ . جابه‌جایی‌های شیمیایی نسبت به ناخالصی  $\text{CHCl}_3$  ۳۴.....

- شكل ۲-۱۸ طیف  $^1\text{H}$  NMR گونه‌ی  $\text{H}_2\text{t}(4\text{-Cl})\text{pp}(\text{CF}_3\text{HCOOH})_2$  در حلال  $\text{CDCl}_3$ . جابه‌جایی‌های شیمیایی نسبت به ناخالصی  $\text{CHCl}_3$  حلال  $\text{CDCl}_3$  در  $7/26$  ppm تعیین شده است. ۳۵.....
- شكل ۲-۱۹ طیف  $^1\text{H}$  NMR گونه‌ی  $\text{H}_2\text{t}(4\text{-Cl})\text{pp}(\text{Cl}_2\text{HCCOOH})_2$  در حلال  $\text{CDCl}_3$ . جابه‌جایی‌های شیمیایی نسبت به ناخالصی  $\text{CHCl}_3$  حلال  $\text{CDCl}_3$  در  $7/26$  ppm تعیین شده است. ۳۵.....
- شكل ۲-۲۰ طیف  $^1\text{H}$  NMR گونه‌ی  $\text{H}_2\text{t}(4\text{-Cl})\text{pp}(\text{H}_2\text{C}_2\text{O}_4)_2$  در حلال  $\text{CDCl}_3$ . جابه‌جایی‌های شیمیایی نسبت به ناخالصی  $\text{CHCl}_3$  حلال  $\text{CDCl}_3$  در  $7/26$  ppm تعیین شده است. ۳۶.....
- شكل ۳-۱ اساختار مولکولی اداكت مزو-تراکیس ترشیوبوتیل پورفیرین با تری‌فلوئورواستیک اسید ۴۰.....
- شكل ۳-۲ نوار Soret و  $\text{Q}(0,0)$  پورفین ۴۱.....
- شكل ۳-۳ همپوشانی اوربیتال  $\text{a}_{2u}$  با گروه‌های آریل منجر به ناپایداری اوربیتال‌های  $\text{a}_{2u}$  می‌شود. ۴۳.....
- شكل ۳-۴ اختلاف سطح انرژی بین حالت ختشی و حالت کاتیونی اوربیتال  $\text{a}_{2u}$  در  $\text{H}_2\text{tpp}$  و  $\text{H}_2\text{t}(4\text{-Cl})\text{pp}$  ۴۴.....
- شكل ۳-۵ منحنی ولتا متري  $\text{H}_2\text{tpp}(\text{Cl}_2\text{HCCOOH})_2$ ,  $\text{H}_2\text{tpp}(\text{CF}_3\text{COOH})_2$  و  $\text{H}_2\text{tpp}$  با غلظت  $5 \times 10^{-4}$  مولار از پورفیرین و  $5 \times 10^{-3}$  مولار از اسید در حلال دی‌کلرومتان و در حضور TBAP با غلظت  $1/10$  مولار. سرعت روبش  $0.01 \text{ V s}^{-1}$  ۴۸.....
- شكل ۳-۶ منحنی ولتا متري  $\text{H}_2\text{t}(4\text{-Cl})\text{pp}(\text{HCOOH})_2$ ,  $\text{H}_2\text{t}(4\text{-Cl})\text{pp}(\text{CF}_3\text{COOH})_2$ ,  $\text{H}_2\text{t}(4\text{-Cl})\text{pp}$  با غلظت  $5 \times 10^{-4}$  مولار از پورفیرین و  $5 \times 10^{-3}$  مولار از اسید در حلال دی‌کلرومتان و در حضور TBAP با غلظت  $1/10$  مولار. سرعت روبش  $0.01 \text{ V s}^{-1}$  ۴۸.....
- شكل ۳-۷ تأثیر مساوی همپوشانی  $\pi$  گروه‌های آریل روی موقعیت مزو، در ناپایداری اوربیتال  $\text{a}_{2u}$  ( محل اکسایش اول پورفیرین) و اوربیتال‌های  $\text{e}_g$  ۵۷.....
- شكل ۳-۸ طیف‌های  $^1\text{H}$  NMR اداكت  $\text{H}_2\text{tpp}(\text{HCOOH})_2$  در حلال  $\text{CDCl}_3$  در دماهای مختلف ۶۹.....
- شكل ۳-۹ طیف  $^1\text{H}$  NMR اداكت  $\text{H}_2\text{tpp}(\text{HCOOH})_2$  در حلال  $\text{CDCl}_3$  در دما  $20^\circ\text{C}$  درجه سانتی‌گراد. ۷۰.....
- شكل ۳-۱۰ طیف  $^1\text{H}$  NMR اداكت  $\text{H}_2\text{tpp}(\text{HCOOH})_2$  در حلال  $\text{CDCl}_3$  در دما  $0^\circ\text{C}$  درجه سانتی‌گراد. ۷۱.....
- شكل ۳-۱۱ طیف  $^1\text{H}$  NMR اداكت  $\text{H}_2\text{tpp}(\text{HCOOH})_2$  در حلال  $\text{CDCl}_3$  در دما  $-15^\circ\text{C}$  درجه سانتی‌گراد. ۷۲.....

شکل ۳-۱۲ طیف  $^1\text{H NMR}$  ادکت  $\text{H}_2\text{tpp}(\text{HCOOH})_2$  در حلال  $\text{CDCl}_3$  در دمای  $-30^\circ\text{C}$ - درجه سانتی گراد.  
۷۳.....

شکل ۳-۱۳ طیف  $^1\text{H NMR}$  ادکت  $\text{H}_2\text{tpp}(\text{HCOOH})_2$  در حلال  $\text{CDCl}_3$  در دمای  $-45^\circ\text{C}$ - درجه سانتی گراد.  
۷۴.....

شکل ۳-۱۴ طیف  $^1\text{H NMR}$  ادکت  $\text{H}_2\text{tpp}(\text{HCOOH})_2$  در حلال  $\text{CDCl}_3$  در دمای  $-60^\circ\text{C}$ - درجه سانتی گراد.  
۷۵.....

شکل ۳-۱۵ موقعیت هیدروژن‌های  $\text{NH}$  در طیف  $^1\text{H NMR}$  ادکت  $\text{H}_2\text{tpp}(\text{HCOOH})_2$  در حلال  $\text{CDCl}_3$  در دمای  $-60^\circ\text{C}$ - درجه سانتی مختلف.  
۷۶.....

شکل ۳-۱۶ موقعیت سیگنانال‌های هیدروژن حلقوی آریل در طیف  $^1\text{H NMR}$  ادکت  $\text{H}_2\text{tpp}(\text{HCOOH})_2$  در حلال  $\text{CDCl}_3$  در دمای  $-60^\circ\text{C}$ - درجه سانتی مختلف.  
Error! Bookmark not defined.....

شکل ۳-۱۷ طیف  $^1\text{H NMR}$  ادکت  $\text{H}_2\text{t}(4\text{-Cl})\text{pp}(\text{HCOOH})_2$  در حلال  $\text{CDCl}_3$  در دمای دماهای مختلف.  
۷۸.....

شکل ۳-۱۸ طیف  $^1\text{H NMR}$  ادکت  $\text{H}_2\text{t}(4\text{-Cl})\text{pp}(\text{HCOOH})_2$  در حلال  $\text{CDCl}_3$  در دمای  $20^\circ\text{C}$ - درجه سانتی گراد.  
۷۹.....

شکل ۳-۱۹ طیف  $^1\text{H NMR}$  ادکت  $\text{H}_2\text{t}(4\text{-Cl})\text{pp}(\text{HCOOH})_2$  در حلال  $\text{CDCl}_3$  در دمای  $0^\circ\text{C}$ - درجه سانتی گراد.  
۸۰.....

شکل ۳-۲۰ طیف  $^1\text{H NMR}$  ادکت  $\text{H}_2\text{t}(4\text{-Cl})\text{pp}(\text{HCOOH})_2$  در حلال  $\text{CDCl}_3$  در دمای  $-15^\circ\text{C}$ - درجه سانتی گراد.  
۸۱.....

شکل ۳-۲۱ طیف  $^1\text{H NMR}$  ادکت  $\text{H}_2\text{t}(4\text{-Cl})\text{pp}(\text{HCOOH})_2$  در حلال  $\text{CDCl}_3$  در دمای  $-30^\circ\text{C}$ - درجه سانتی گراد.  
۸۲.....

شکل ۳-۲۲ طیف  $^1\text{H NMR}$  ادکت  $\text{H}_2\text{t}(4\text{-Cl})\text{pp}(\text{HCOOH})_2$  در حلال  $\text{CDCl}_3$  در دمای  $-45^\circ\text{C}$ - درجه سانتی گراد.  
۸۳.....

شکل ۳-۲۳ طیف  $^1\text{H NMR}$  ادکت  $\text{H}_2\text{t}(4\text{-Cl})\text{pp}(\text{HCOOH})_2$  در حلال  $\text{CDCl}_3$  در دمای  $-60^\circ\text{C}$ - درجه سانتی گراد.  
۸۴.....

- شکل ۳-۲۴ موقعیت هیدروژن‌های NH در طیف  $^1\text{H}$  NMR ادکت  $\text{H}_2\text{t}(4\text{-Cl})\text{pp}(\text{HCOOH})_2$  در حلال  $\text{CDCl}_3$  در دماهای مختلف ..... ۸۴
- شکل ۳-۲۵ موقعیت هیدروژن‌های گروه آریل در طیف  $^1\text{H}$  NMR ادکت  $\text{H}_2\text{t}(4\text{-Cl})\text{pp}(\text{HCOOH})_2$  در حلال  $\text{CDCl}_3$  در دماهای مختلف ..... ۸۶
- شکل ۳-۲۶ طیف  $^1\text{H}$  NMR ادکت  $\text{H}_2\text{t}(4\text{-OMe})\text{pp}(\text{HCOOH})_2$  در حلال  $\text{CDCl}_3$  در دماهای مختلف ..... ۸۷
- شکل ۳-۲۷ طیف  $^1\text{H}$  NMR ادکت  $\text{H}_2\text{t}(4\text{-OMe})\text{pp}(\text{HCOOH})_2$  در حلال  $\text{CDCl}_3$  در دمای ۲۰ درجه سانتی گراد ..... ۸۸
- شکل ۳-۲۸ طیف  $^1\text{H}$  NMR ادکت  $\text{H}_2\text{t}(4\text{-OMe})\text{pp}(\text{HCOOH})_2$  در حلال  $\text{CDCl}_3$  در دمای ۰ درجه سانتی گراد ..... ۸۹
- شکل ۳-۲۹ طیف  $^1\text{H}$  NMR ادکت  $\text{H}_2\text{t}(4\text{-OMe})\text{pp}(\text{HCOOH})_2$  در حلال  $\text{CDCl}_3$  در دمای ۱۵ درجه سانتی گراد ..... ۹۰
- شکل ۳-۳۰ طیف  $^1\text{H}$  NMR ادکت  $\text{H}_2\text{t}(4\text{-OMe})\text{pp}(\text{HCOOH})_2$  در حلال  $\text{CDCl}_3$  در دمای ۳۰ درجه سانتی گراد ..... ۹۱
- شکل ۳-۳۱ طیف  $^1\text{H}$  NMR ادکت  $\text{H}_2\text{t}(4\text{-OMe})\text{pp}(\text{HCOOH})_2$  در حلال  $\text{CDCl}_3$  در دمای ۴۵ درجه سانتی گراد ..... ۹۲
- شکل ۳-۳۲ طیف  $^1\text{H}$  NMR ادکت  $\text{H}_2\text{t}(4\text{-OMe})\text{pp}(\text{HCOOH})_2$  در حلال  $\text{CDCl}_3$  در دمای ۶۰ درجه سانتی گراد ..... ۹۳
- شکل ۳-۳۳ موقعیت هیدروژن‌های گروه آریل در طیف  $^1\text{H}$  NMR ادکت  $\text{H}_2\text{t}(4\text{-OMe})\text{pp}(\text{HCOOH})_2$  در حلال  $\text{CDCl}_3$  در دماهای مختلف ..... ۹۴

## فهرست جدول‌ها

- جدول ۳-۱ نوار Soret و Q(0,0) پورفین و H<sub>2</sub>tpp ۴۱
- جدول ۳-۲ موقعیت نوارهای سورت و Q(0,0) ترکیبات H<sub>2</sub>t(4-OMe)pp .H<sub>2</sub>tpp و pp در حلال دی‌کلرومتان. ۴۲
- جدول ۳-۳ پتانسیل‌های اکسایش اول و دوم H<sub>2</sub>t(4-OMe)pp و H<sub>2</sub>tpp با غلظت ۵×۱۰<sup>-۴</sup> مولار در حلال دی‌کلرومتان و غلظت ۱۰ مولار از TBAP. سرعت روبش ۰/۰۱ V s<sup>-1</sup>. ۴۴
- جدول ۳-۴ پتانسیل‌های کاهش اول و دوم H<sub>2</sub>t(4-Cl)pp .H<sub>2</sub>tpp و H<sub>2</sub>t(4-OMe)pp با غلظت ۵×۱۰<sup>-۴</sup> مولار در حلال دی‌کلرومتان و غلظت ۱۰ مولار از TBAP. سرعت روبش ۰/۰۱ V s<sup>-1</sup>. ۴۶
- جدول ۳-۵ پتانسیل‌های اولین و دومین اکسایش و کاهش H<sub>2</sub>tpp و دی‌کاتیون‌های آن با اسیدهای مورد بررسی در حلال دی‌کلرومتان و غلظت ۱۰ مولار از TBAP. سرعت روبش ۰/۰۱ V s<sup>-1</sup>. ۴۶
- جدول ۳-۶ پتانسیل‌های اولین و دومین اکسایش و کاهش H<sub>2</sub>t(4-Cl)pp و دی‌کاتیون‌های آن با اسیدهای مورد بررسی در حلال دی‌کلرومتان و غلظت ۱۰ مولار از TBAP. سرعت روبش ۰/۰۱ V s<sup>-1</sup>. ۴۷
- جدول ۳-۷ پتانسیل‌های اولین و دومین اکسایش و کاهش H<sub>2</sub>t(4-OMe)pp و دی‌کاتیون‌های آن با اسیدهای مورد بررسی در حلال دی‌کلرومتان و غلظت ۱۰ مولار از TBAP. سرعت روبش ۰/۰۱ V s<sup>-1</sup>. ۴۷
- جدول ۳-۸ پتانسیل‌های اکسایش اول و دوم دی‌کاتیون‌های H<sub>2</sub>t(4-Cl)pp .H<sub>2</sub>tpp و H<sub>2</sub>t(4-OMe)pp با تری‌فلوئورواستیک اسید در حلال دی‌کلرومتان و در حضور TBAP با غلظت ۱۰ مولار. سرعت روبش ۰/۰۱ V s<sup>-1</sup>. ۵۰
- جدول ۳-۹ پتانسیل‌های اکسایش اول و دوم دی‌کاتیون‌های H<sub>2</sub>t(4-OMe)pp .H<sub>2</sub>tpp و H<sub>2</sub>t(4-Cl)pp با اگزالیک اسید در حلال دی‌کلرومتان و در حضور TBAP با غلظت ۱۰ مولار. سرعت روبش ۰/۰۱ V s<sup>-1</sup>. ۵۱
- جدول ۳-۱۰ پتانسیل‌های اکسایش اول و دوم دی‌کاتیون‌های H<sub>2</sub>t(4-Cl)pp .H<sub>2</sub>tpp و H<sub>2</sub>t(4-OMe)pp با دی‌کلرواستیک اسید در حلال دی‌کلرومتان و در حضور TBAP با غلظت ۱۰ مولار. سرعت روبش ۰/۰۱ V s<sup>-1</sup>. ۵۱
- جدول ۳-۱۱ پتانسیل‌های اکسایش اول و دوم دی‌کاتیون‌های H<sub>2</sub>t(4-Cl)pp .H<sub>2</sub>tpp و H<sub>2</sub>t(4-OMe)pp با فرمیک اسید در حلال دی‌کلرومتان و در حضور TBAP با غلظت ۱۰ مولار. سرعت روبش ۰/۰۱ V s<sup>-1</sup>. ۵۱

- جدول ۳-۱۲ پتانسیل‌های اکسایش اول و دوم دی‌کاتیون‌های  $H_2t(4\text{-OMe})pp$  و  $H_2t(4\text{-Cl})pp$ . $H_2tpp$  با استیک اسید در حلال دی‌کلرومتان و در حضور TBAP با غلظت ۰/۱ مولار. سرعت روش  $V s^{-1}$   
۵۱.....۰/۰۱
- جدول ۳-۱۳ پتانسیل‌های اکسایش اول و دوم دی‌کاتیون‌های  $H_2t(4\text{-OMe})pp$  و  $H_2t(4\text{-Cl})pp$ . $H_2tpp$  با پروپیونیک اسید در حلال دی‌کلرومتان و در حضور TBAP با غلظت ۰/۱ مولار. سرعت روش  $V s^{-1}$   
۵۱.....۰/۰۱
- جدول ۳-۱۴ پتانسیل‌های کاهش اول و دوم دی‌کاتیون‌های  $H_2t(4\text{-OMe})pp$  و  $H_2t(4\text{-Cl})pp$ . $H_2tpp$  با تری‌فلوئورواستیک اسید در حلال دی‌کلرومتان و در حضور TBAP با غلظت ۰/۱ مولار. سرعت روش  $V s^{-1}$   
۵۳.....۰/۰۱
- جدول ۳-۱۵ پتانسیل‌های کاهش اول و دوم دی‌کاتیون‌های  $H_2t(4\text{-OMe})pp$  و  $H_2t(4\text{-Cl})pp$ . $H_2tpp$  با اگزالیک اسید در حلال دی‌کلرومتان و در حضور TBAP با غلظت ۰/۱ مولار. سرعت روش  $V s^{-1}$   
۵۳.....۰/۰۱
- جدول ۳-۱۶ پتانسیل‌های کاهش اول و دوم دی‌کاتیون‌های  $H_2t(4\text{-OMe})pp$  و  $H_2t(4\text{-Cl})pp$ . $H_2tpp$  با دی‌کلرواستیک اسید در حلال دی‌کلرومتان و در حضور TBAP با غلظت ۰/۱ مولار. سرعت روش  $V s^{-1}$   
۵۴.....۰/۰۱
- جدول ۳-۱۷ پتانسیل‌های کاهش اول و دوم دی‌کاتیون‌های  $H_2t(4\text{-OMe})pp$  و  $H_2t(4\text{-Cl})pp$ . $H_2tpp$  با فرمیک اسید در حلال دی‌کلرومتان و در حضور TBAP با غلظت ۰/۱ مولار. سرعت روش  $V s^{-1}$   
۵۴.....۰/۰۱
- جدول ۳-۱۸ پتانسیل‌های اکسایش اول و دوم دی‌کاتیون‌های  $H_2t(4\text{-OMe})pp$  و  $H_2t(4\text{-Cl})pp$ . $H_2tpp$  با استیک اسید در حلال دی‌کلرومتان و در حضور TBAP با غلظت ۰/۱ مولار. سرعت روش  $V s^{-1}$   
۵۴.....۰/۰۱
- جدول ۳-۱۹ پتانسیل‌های کاهش اول و دوم دی‌کاتیون‌های  $H_2t(4\text{-OMe})pp$  و  $H_2t(4\text{-Cl})pp$ . $H_2tpp$  با پروپیونیک اسید در حلال دی‌کلرومتان و در حضور TBAP با غلظت ۰/۱ مولار. سرعت روش  $V s^{-1}$   
۵۴.....۰/۰۱
- جدول ۳-۲۰ نوار سورت و  $Q(0,0)$  دی‌کاتیون‌های  $H_2tpp$  با اسیدهای مورد بررسی در حلال دی‌کلرومتان...۵۵
- جدول ۳-۲۱ نوار سورت و  $Q(0,0)$  دی‌کاتیون‌های  $H_2t(4\text{-Cl})pp$  با اسیدهای مورد بررسی در حلال دی‌کلرومتان....۵۶
- جدول ۳-۲۲ نوار سورت و  $Q(0,0)$  دی‌کاتیون‌های  $H_2t(4\text{-OMe})pp$  با اسیدهای مورد بررسی در حلال دی‌کلرومتان....۵۶

جدول ۳-۲۳ اختلاف بین اولین پتانسیل کاهش و اولین پتانسیل اکسایش $H_2t(4-Cl)pp$ و $H_2t(4-Cl)pp\cdot OMe)pp$	۵۷
جدول ۳-۲۴ موقعیت سیگنال‌های هیدروژن در طیف $^1H$ NMR و دی‌کاتیون‌های آن با تری فلوئورواستیک اسید، دی‌کلرواستیک اسید و اگزالیک اسید در حلال $CDCl_3$	۶۱
جدول ۳-۲۵ موقعیت سیگنال‌های هیدروژن در طیف $^1H$ NMR و دی‌کاتیون‌های آن با تری فلوئورواستیک اسید، دی‌کلرواستیک اسید و اگزالیک اسید در حلال $CDCl_3$	۶۱
جدول ۳-۲۶ موقعیت سیگنال‌های هیدروژن در طیف $^1H$ NMR و دی‌کاتیون‌های آن با تری فلوئورواستیک اسید، دی‌کلرواستیک اسید و اگزالیک اسید در حلال $CDCl_3$	۶۲
جدول ۳-۲۷ موقعیت سیگنال‌های هیدروژن در طیف $^1H$ NMR و دی‌کاتیون‌های آن با تری فلوئورواستیک اسید و فرمیک اسید در حلال $CDCl_3$	۶۶
جدول ۳-۲۸ موقعیت سیگنال‌های هیدروژن در طیف $^1H$ NMR در حلال $CDCl_3$ در دماهای مختلف	۶۷
جدول ۳-۲۹ موقعیت سیگنال‌های هیدروژن در طیف $^1H$ NMR در حلال $CDCl_3$ در دماهای مختلف	۶۷
جدول ۳-۳۰ موقعیت سیگنال‌های هیدروژن در طیف $^1H$ NMR در حلال $CDCl_3$ در دماهای مختلف	۶۸

## اختصارات

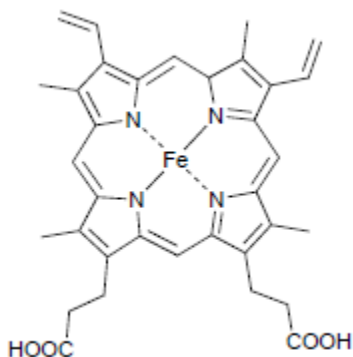
H <sub>2</sub> tpp .....	مزو-ترافنیل پورفیرین
H <sub>2</sub> t(4-OMe)pp .....	مزو-تتراکیس(پارا-متوکسی فنیل) پورفیرین
H <sub>2</sub> t(4-Cl)pp .....	مزو-تتراکیس(پارا-کلروفنیل) پورفیرین
TBAP.....	تربوبوتیل آمونیوم پرکلرات
H <sub>2</sub> P.....	پورفیرین

# فصل اول

## مقدمه

### ۱-۱ پورفیرین<sup>۱</sup>

ماکروسیکل های تراپیرو لی مانند پورفیرین ها، کورو ل ها<sup>۲</sup> و کمپلکس های فلزی آن ها به صورت گستره دهای در طبیعت وجود دارند و نقش های متعددی از قبیل کاتالیزور، حمل اکسیژن و انتقال الکترون را به عهده دارند. به دلیل نقش های بیولوژی کی متعددی که این ماکروسیکل های تراپیرو لی ایفا می کنند، مطالعات گستره دهای به منظور درک شیمی این ترکیبات صورت گرفته است. در شکل ۱-۱ یک نمونه از این ترکیبات، آهن پرو تو پورفیرین IX<sup>۳</sup>، که در حمل اکسیژن توسط همو گلوبین مشارکت دارد، نشان داده شده است.



شکل ۱-۱ آهن پرو تو پورفیرین IX

پورفیرین یکی از مهمترین ماکروسیکل های تراپیرو لی موجود در سیستم های حیاتی است. ساختارهای متعددی برای پورفیرین پیش بینی شده بود، اما سرانجام با استفاده از پراش پرتو X<sup>۴</sup> ساختار

<sup>1</sup> Porphyrin

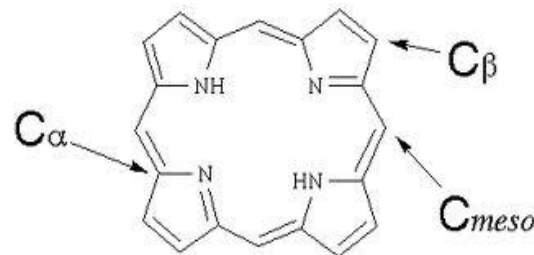
<sup>2</sup> Corrole

<sup>3</sup> Chlorin

<sup>4</sup> Iron protoporphyrin IX

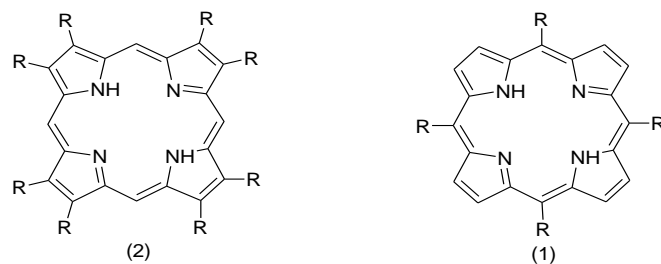
<sup>5</sup> X-ray diffraction

نشان داده شده در شکل ۱-۲ که توسط کاستر<sup>۱</sup> در سال ۱۹۱۲ پیشنهاد شده بود، مورد تأیید قرار گرفت [۱]. این ترکیب مسطح که ساده‌ترین پورفیرین است و هیچ‌گونه استخلافی ندارد، پورفین<sup>۲</sup> نامیده می‌شود.



شکل ۱-۲ ساختار هسته پورفیرین

پورفیرین‌ها ترکیبات مسطح آروماتیک با بیست و دو الکترون  $\pi$  هستند که هجده الکترون آن در رزونانس شرکت می‌کند. انرژی ناشی از این سیستم رزونانسی منجر به پایداری قابل ملاحظه‌ای در این ترکیبات می‌شود. آروماتیک بودن پورفیرین‌ها توسط تکنیک  $^1H$  NMR تایید شده است [۲]. همان‌طور که در شکل ۱-۲ مشاهده می‌شود، هسته پورفیرین دارای سه نوع اتم کربن آلفا، بتا و مزو است. استخلاف‌های مختلف می‌توانند بر روی موقعیت‌های بتا و مزو قرار گیرند و به این ترتیب پورفیرین‌های متنوعی با عملکردهای گوناگون ایجاد کنند. بر این اساس پورفیرین‌ها را به دو دسته کلی پورفیرین‌های استخلاف‌دار شده در موقعیت بتا<sup>۳</sup> و پورفیرین‌های استخلاف‌دار شده در موقعیت مزو<sup>۴</sup> طبقه‌بندی می‌کنند (شکل ۱-۳).



شکل ۱-۳ پورفیرین‌های استخلاف‌دار شده در موقعیت بتا (۱)؛ پورفیرین‌های استخلاف‌دار شده در موقعیت مزو (۲)

<sup>1</sup> Kuster

<sup>2</sup> Porphine

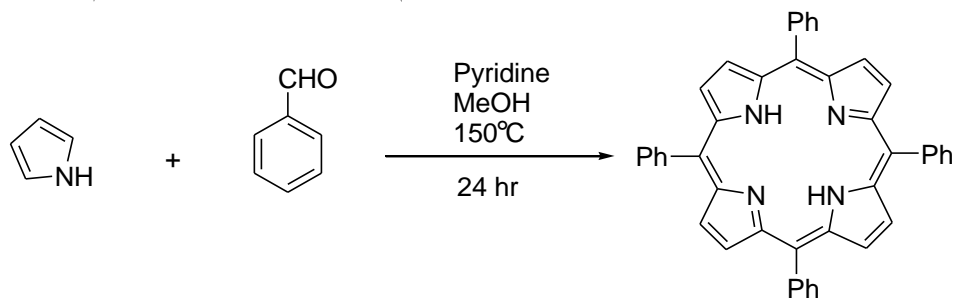
<sup>3</sup>  $\beta$ - substituted porphyrins

<sup>4</sup> *meso*-substituted porphyrins

## ۲-۱ روش‌های سنتز پورفیرین‌های استخلافدار شده در موقعیت مزو

### ۱-۲-۱ روش روتمند<sup>۱</sup>

اولین بار روتمند در سال ۱۹۳۶ پورفیرین‌های استخلافدار شده در موقعیت مزو را از واکنش بین پیرول و آلدھید مربوطه در حلال متانول در دمای ۱۵۰ سانتی‌گراد تهیه کرد. واکنش تحت جو نیتروژن انجام گرفت. روتمند با استفاده از این روش و به‌کارگیری آلدھیدهای مختلف مثل استالدھید، پروپیونالدھید، بوتیرالدھید نرمال، بنزآلدھید و غیره پورفیرین‌هایی با استخلافهای متنوع سنتز کرد. علیرغم بهینه‌سازی‌هایی که روتمند در شرایط واکنش انجام داد، بازده واکنش بسیار کم بود [۳].

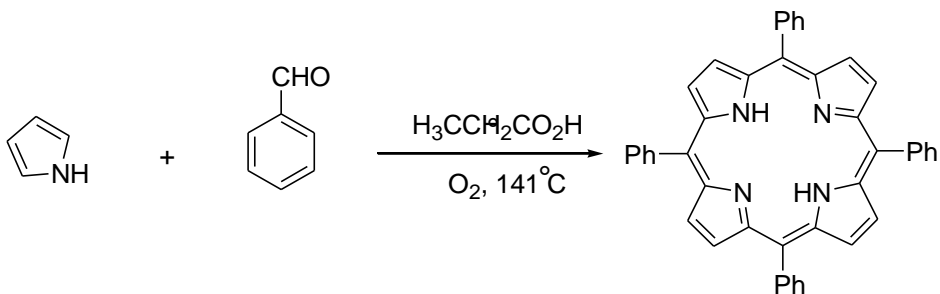


### ۱-۲-۲ روش آدلر-لونگو<sup>۲</sup>

در سال ۱۹۶۷ آدلر و لونگو با بهینه‌سازی روش روتمند موفق به سنتز پورفیرین‌های استخلافدار شده در موقعیت مزو شدند. در این روش ابتدا از واکنش پیرول و بنزآلدھید در شرایط بازروانی حلال‌های اسیدی مختلف جهت سنتز پورفیرین‌های استخلافدار شده در موقعیت مزو استفاده شد. حلال اصلی مورد استفاده استیک اسید بود. با بهینه‌سازی شرایط واکنش، نهایتاً واکنش پیرول و بنزآلدھید در شرایط بازروانی پروپیونیک اسید (۱۴۱ °C) تحت جو اتمسفر انجام شد. استفاده از این روش امکان سنتز دسته‌ی وسیعی از پورفیرین‌های استخلافدار شده در موقعیت مزو به خصوص مزو-تری‌آریل‌پورفیرین‌های استخلافدار شده را فراهم کرد؛ همچنین با استفاده از این روش بازده واکنش به ۰.۲۰٪ رسید [۴]. با این حال این روش نیز معایبی دارد؛ شرایط سخت واکنش منجر به کم بودن بازده می‌شود و همچنین این روش در عدم استفاده از آلدھیدهایی که دارای گروه‌های عاملی حساس هستند محدودیت دارد.

<sup>1</sup> Rothemund

<sup>2</sup> Adler- Longo

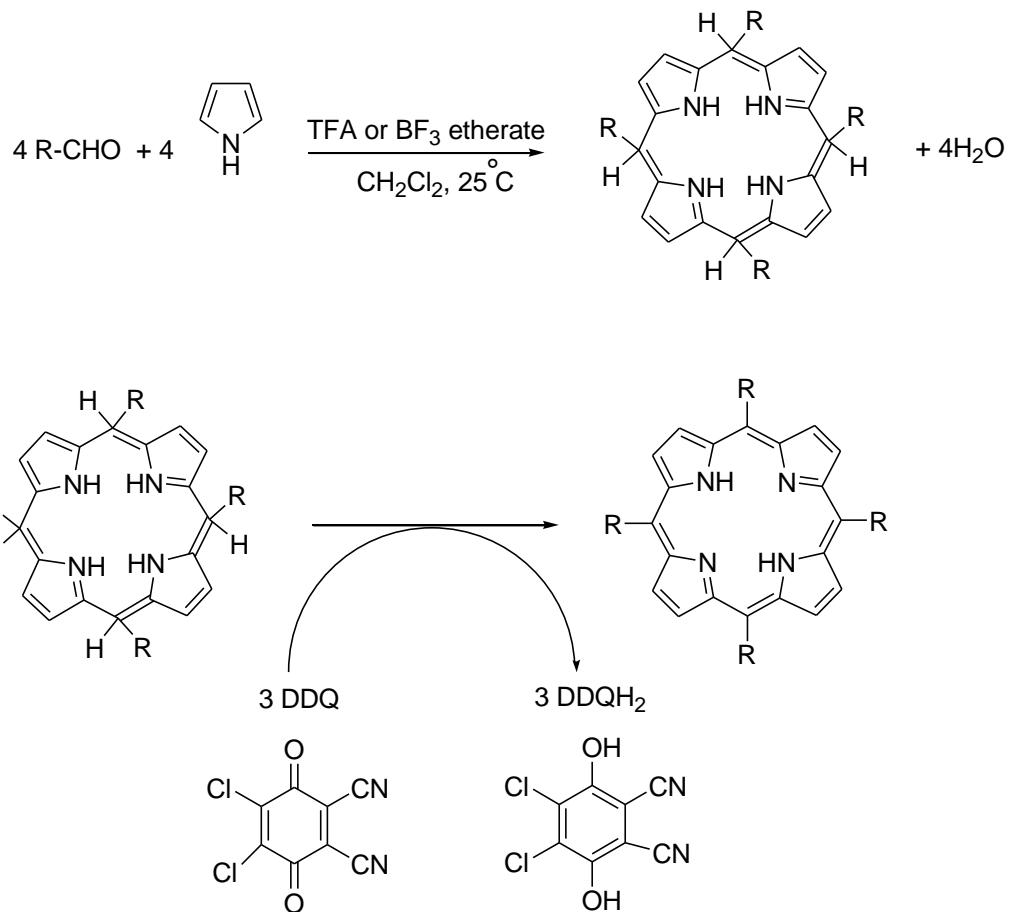


### ۱-۲-۳ روش لیندسى<sup>۱</sup>

به منظور توسعه دادن سنتز پورفیرین‌ها با استخلاف‌های متفاوت تلاش‌های زیادی جهت دست‌یابی به روش‌های سنتز مناسب انجام شد. تا اینکه در دهه ۱۹۸۰ یک روش سنتز جدید برای پورفیرین‌های استخلافدار شده در موقعیت مزو تحت شرایط آرام توسط لیندسى ارائه شد. در این روش ابتدا پیروول و آلدهید تحت جو نیتروژن در حلال دی‌کلرومتان خشک با یکدیگر مخلوط شده و سپس به محلول واکنش، تری‌فلوئورواستیک اسید یا محلول اتری تری‌فلوئوریدبور به عنوان کاتالیزور اضافه شد. این واکنش در دمای محیط و به دور از نور انجام شد. در این مرحله به واکنش زمان کافی داده شد تا به سمت محصول پورفیرینوزن<sup>۲</sup> پیش رود. سپس با استفاده از اکسیدهایی همچون دی‌کلرودی‌سیانوبنزوكینون (DDQ) و یا پاراکلرائیل و بازروانی نمودن محلول، پورفیرینوزن حاصله به پورفیرین تبدیل شد. در آخرین مرحله برای خالص‌سازی پورفیرین به دست آمده، از ستون کروماتوگرافی آلومنیا استفاده شد. نوار ارغوانی رنگ پورفیرین با گذشت زمان از ستون خارج گردید.

<sup>1</sup> Lindsey

<sup>2</sup> Porphyrinogen



بازده سنتز پورفیرین در این روش حدود ۵۰٪ است. بهره این واکنش به عوامل متعددی از قبیل عامل اکسید کننده، مدت زمان تراکم، کاتالیزور اسیدی، غلظت پیروول، بنزاالدهید و اسید بستگی دارد [۵].

### ۱-۳ بررسی پورفیرین‌های غیر مسطح<sup>۱</sup>

#### ۱-۳-۱ اهمیت بررسی پورفیرین‌های غیر مسطح

انحراف از حالت مسطح در ماکروسیکل‌های تترابیپرولی مثل هم<sup>۲</sup> در همپروتئین‌ها، کوفاکتور F<sub>430</sub> در متیل رداکتاز<sup>۳</sup> و سایر سیستم‌های حیاتی بسیار متداول است. مشخص شده که انحراف این

<sup>1</sup> Nonplanar porphyrins

<sup>2</sup> Heme

<sup>3</sup> Methylreductase